

Starkniederschlagshöhen und -spenden gemäß KOSTRA-DWD-2020

Rasterfeld 160126

(Zeile 160, Spalte 126)

Regenspende und Bemessungsniederschlagswerte in Abhängigkeit von Wiederkehrzeit T und Dauerstufe D

| Dauerstufe D | | Wiederkehrzeit T | | | | | | | | | | | | | | | | | |
|--------------|-----|------------------|------------|------|------------|------|------------|------|------------|------|------------|-------|------------|-------|------------|-------|------------|-------|------------|
| | | 1 a | | 2 a | | 3 a | | 5 a | | 10 a | | 20 a | | 30 a | | 50 a | | 100 a | |
| min | Std | mm | l / (s ha) | mm | l / (s ha) | mm | l / (s ha) | mm | l / (s ha) | mm | l / (s ha) | mm | l / (s ha) | mm | l / (s ha) | mm | l / (s ha) | mm | l / (s ha) |
| 5 | | 7,2 | 240,0 | 8,8 | 293,3 | 9,9 | 330,0 | 11,2 | 373,3 | 13,1 | 436,7 | 15,1 | 503,3 | 16,4 | 546,7 | 18,1 | 603,3 | 20,5 | 683,3 |
| 10 | | 9,4 | 156,7 | 11,5 | 191,7 | 12,8 | 213,3 | 14,5 | 241,7 | 17,0 | 283,3 | 19,6 | 326,7 | 21,3 | 355,0 | 23,5 | 391,7 | 26,6 | 443,3 |
| 15 | | 10,6 | 117,8 | 13,1 | 145,6 | 14,6 | 162,2 | 16,5 | 183,3 | 19,4 | 215,6 | 22,3 | 247,8 | 24,2 | 268,9 | 26,7 | 296,7 | 30,3 | 336,7 |
| 20 | | 11,6 | 96,7 | 14,2 | 118,3 | 15,9 | 132,5 | 18,0 | 150,0 | 21,1 | 175,8 | 24,3 | 202,5 | 26,4 | 220,0 | 29,1 | 242,5 | 33,0 | 275,0 |
| 30 | | 13,0 | 72,2 | 15,9 | 88,3 | 17,7 | 98,3 | 20,1 | 111,7 | 23,6 | 131,1 | 27,2 | 151,1 | 29,5 | 163,9 | 32,5 | 180,6 | 36,9 | 205,0 |
| 45 | | 14,4 | 53,3 | 17,7 | 65,6 | 19,7 | 73,0 | 22,4 | 83,0 | 26,2 | 97,0 | 30,2 | 111,9 | 32,8 | 121,5 | 36,2 | 134,1 | 41,0 | 151,9 |
| 60 | 1 | 15,5 | 43,1 | 19,0 | 52,8 | 21,2 | 58,9 | 24,0 | 66,7 | 28,2 | 78,3 | 32,4 | 90,0 | 35,2 | 97,8 | 38,9 | 108,1 | 44,1 | 122,5 |
| 90 | 1,5 | 17,1 | 31,7 | 21,0 | 38,9 | 23,4 | 43,3 | 26,5 | 49,1 | 31,1 | 57,6 | 35,8 | 66,3 | 38,9 | 72,0 | 42,9 | 79,4 | 48,7 | 90,2 |
| 120 | 2 | 18,3 | 25,4 | 22,5 | 31,3 | 25,0 | 34,7 | 28,4 | 39,4 | 33,3 | 46,3 | 38,3 | 53,2 | 41,6 | 57,8 | 45,9 | 63,8 | 52,1 | 72,4 |
| 180 | 3 | 20,1 | 18,6 | 24,7 | 22,9 | 27,5 | 25,5 | 31,3 | 29,0 | 36,6 | 33,9 | 42,1 | 39,0 | 45,8 | 42,4 | 50,5 | 46,8 | 57,3 | 53,1 |
| 240 | 4 | 21,5 | 14,9 | 26,4 | 18,3 | 29,4 | 20,4 | 33,4 | 23,2 | 39,1 | 27,2 | 45,1 | 31,3 | 48,9 | 34,0 | 54,0 | 37,5 | 61,3 | 42,6 |
| 360 | 6 | 23,6 | 10,9 | 29,0 | 13,4 | 32,3 | 15,0 | 36,7 | 17,0 | 43,0 | 19,9 | 49,5 | 22,9 | 53,7 | 24,9 | 59,3 | 27,5 | 67,3 | 31,2 |
| 540 | 9 | 25,9 | 8,0 | 31,8 | 9,8 | 35,5 | 11,0 | 40,2 | 12,4 | 47,2 | 14,6 | 54,3 | 16,8 | 58,9 | 18,2 | 65,0 | 20,1 | 73,8 | 22,8 |
| 720 | 12 | 27,7 | 6,4 | 34,0 | 7,9 | 37,9 | 8,8 | 43,0 | 10,0 | 50,4 | 11,7 | 58,0 | 13,4 | 62,9 | 14,6 | 69,5 | 16,1 | 78,8 | 18,2 |
| 1080 | 18 | 30,3 | 4,7 | 37,2 | 5,7 | 41,5 | 6,4 | 47,1 | 7,3 | 55,2 | 8,5 | 63,6 | 9,8 | 69,0 | 10,6 | 76,2 | 11,8 | 86,4 | 13,3 |
| 1440 | 24 | 32,4 | 3,8 | 39,8 | 4,6 | 44,3 | 5,1 | 50,3 | 5,8 | 58,9 | 6,8 | 67,8 | 7,8 | 73,7 | 8,5 | 81,3 | 9,4 | 92,3 | 10,7 |
| 2880 | 48 | 37,9 | 2,2 | 46,5 | 2,7 | 51,8 | 3,0 | 58,9 | 3,4 | 69,0 | 4,0 | 79,4 | 4,6 | 86,2 | 5,0 | 95,1 | 5,5 | 107,9 | 6,2 |
| 4320 | 72 | 41,5 | 1,6 | 51,0 | 2,0 | 56,8 | 2,2 | 64,5 | 2,5 | 75,6 | 2,9 | 87,0 | 3,4 | 94,5 | 3,6 | 104,3 | 4,0 | 118,3 | 4,6 |
| 5760 | 96 | 44,3 | 1,3 | 54,4 | 1,6 | 60,7 | 1,8 | 68,9 | 2,0 | 80,7 | 2,3 | 92,9 | 2,7 | 100,8 | 2,9 | 111,3 | 3,2 | 126,3 | 3,7 |
| 7200 | 120 | 46,6 | 1,1 | 57,2 | 1,3 | 63,8 | 1,5 | 72,4 | 1,7 | 84,8 | 2,0 | 97,7 | 2,3 | 106,0 | 2,5 | 117,0 | 2,7 | 132,8 | 3,1 |
| 8640 | 144 | 48,6 | 0,9 | 59,6 | 1,1 | 66,5 | 1,3 | 75,5 | 1,5 | 88,4 | 1,7 | 101,8 | 2,0 | 110,5 | 2,1 | 122,0 | 2,4 | 138,4 | 2,7 |
| 10080 | 168 | 50,3 | 0,8 | 61,7 | 1,0 | 68,8 | 1,1 | 78,1 | 1,3 | 91,5 | 1,5 | 105,4 | 1,7 | 114,4 | 1,9 | 126,3 | 2,1 | 143,3 | 2,4 |

Starkniederschlagshöhen und -spenden gemäß KOSTRA-DWD-2020

Rasterfeld 160126

(Zeile 160, Spalte 126)

Örtliche Unsicherheiten in Abhängigkeit von Wiederkehrzeit T und Dauerstufe D

| Dauerstufe D | | Wiederkehrzeit T | | | | | | | | |
|--------------|-----|------------------|-----|-----|-----|------|------|------|------|-------|
| | | 1 a | 2 a | 3 a | 5 a | 10 a | 20 a | 30 a | 50 a | 100 a |
| min | Std | ± % | ± % | ± % | ± % | ± % | ± % | ± % | ± % | ± % |
| 5 | | 8 | 9 | 9 | 10 | 10 | 11 | 11 | 12 | 12 |
| 10 | | 12 | 13 | 14 | 15 | 16 | 17 | 17 | 17 | 18 |
| 15 | | 14 | 16 | 17 | 18 | 19 | 19 | 20 | 20 | 21 |
| 20 | | 16 | 17 | 18 | 19 | 20 | 21 | 21 | 22 | 22 |
| 30 | | 17 | 19 | 20 | 21 | 22 | 22 | 23 | 23 | 24 |
| 45 | | 17 | 19 | 20 | 21 | 22 | 23 | 23 | 24 | 24 |
| 60 | 1 | 17 | 19 | 20 | 21 | 22 | 23 | 24 | 24 | 24 |
| 90 | 1,5 | 17 | 19 | 20 | 21 | 22 | 23 | 23 | 24 | 24 |
| 120 | 2 | 17 | 19 | 20 | 20 | 22 | 22 | 23 | 23 | 24 |
| 180 | 3 | 16 | 18 | 19 | 20 | 21 | 21 | 22 | 22 | 23 |
| 240 | 4 | 15 | 17 | 18 | 19 | 20 | 21 | 21 | 22 | 22 |
| 360 | 6 | 14 | 16 | 17 | 18 | 19 | 20 | 20 | 21 | 21 |
| 540 | 9 | 13 | 15 | 16 | 17 | 18 | 19 | 19 | 20 | 20 |
| 720 | 12 | 13 | 14 | 15 | 16 | 17 | 18 | 18 | 19 | 19 |
| 1080 | 18 | 12 | 13 | 14 | 15 | 16 | 17 | 17 | 18 | 18 |
| 1440 | 24 | 11 | 13 | 13 | 14 | 15 | 16 | 16 | 17 | 17 |
| 2880 | 48 | 10 | 11 | 12 | 13 | 14 | 14 | 15 | 15 | 16 |
| 4320 | 72 | 10 | 11 | 11 | 12 | 13 | 14 | 14 | 14 | 15 |
| 5760 | 96 | 10 | 11 | 11 | 12 | 13 | 13 | 14 | 14 | 14 |
| 7200 | 120 | 10 | 10 | 11 | 12 | 12 | 13 | 13 | 14 | 14 |
| 8640 | 144 | 10 | 10 | 11 | 11 | 12 | 13 | 13 | 13 | 14 |
| 10080 | 168 | 10 | 10 | 11 | 11 | 12 | 12 | 13 | 13 | 14 |

Parameter für abweichende T und D

Lokationsparameter ξ (Xi)

15,82178942

Skalenparameter α (Alpha)

5,00179001

Formparameter κ (Kappa)

-0,1

1. Koutsoyiannis-Parameter θ (Theta)

0,02797824

2. Koutsoyiannis-Parameter η (Eta)

0,7740966

Parameter für dauerstufenübergreifende Extremwertschätzung nach KOUTSOYIANNIS et al. 1998.

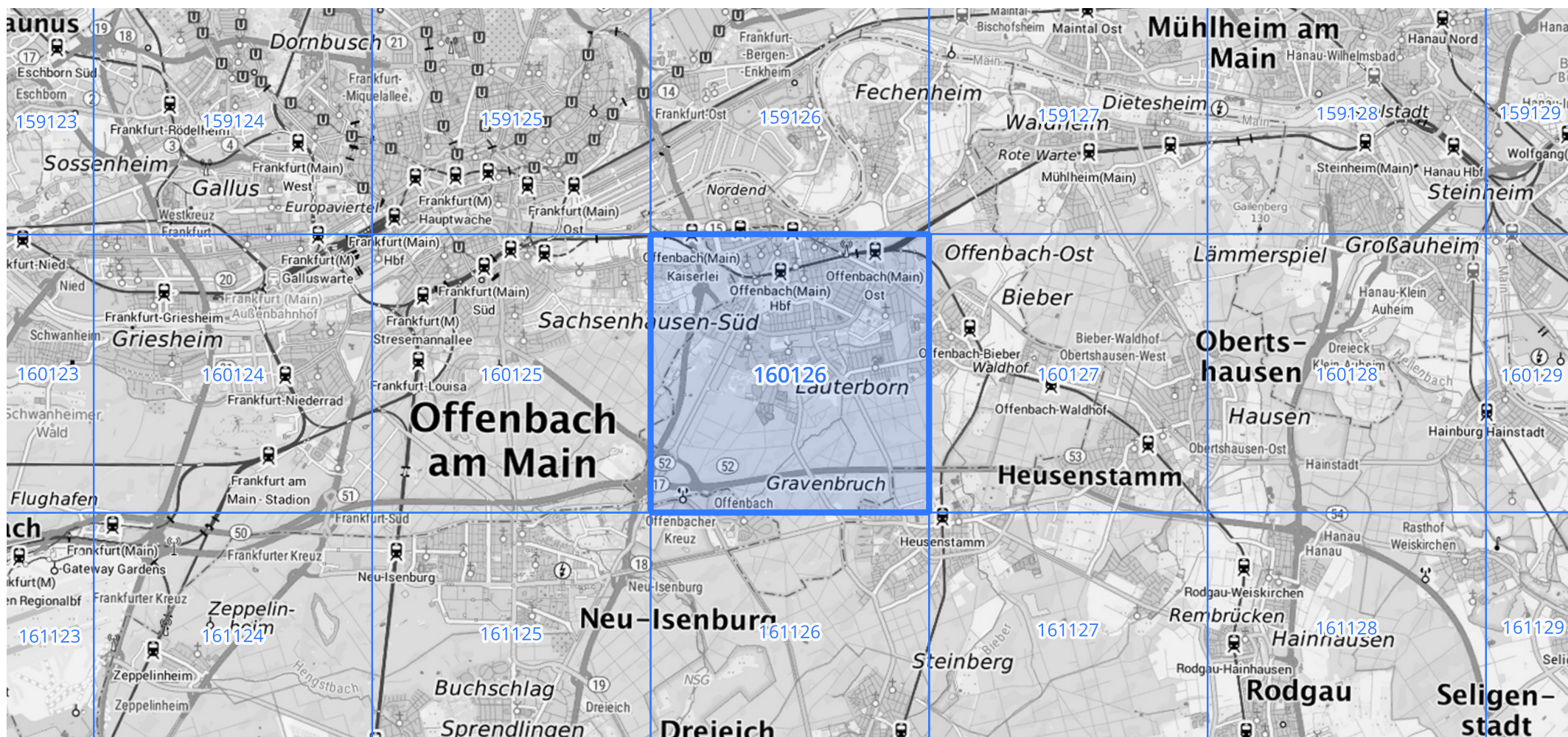
Siehe auch Anwendungshilfe zu KOSTRA-DWD-2020 des Deutschen Wetterdienstes.

Starkniederschlagshöhen und -spenden gemäß KOSTRA-DWD-2020

Rasterfeld 160126

(Zeile 160, Spalte 126)

Übersichtskarte des Rasterfeldes 160126, M 1 : 100 000



Quelle Rasterdaten: KOSTRA-DWD-2020 des Deutschen Wetterdienstes, Stand 12/2022.

Seite 3 von 3

Kartendarstellung: © Bundesamt für Kartographie und Geodäsie (2023), Datenquellen: https://gsx.geodatenzentrum.de/web_public/gdz/datenquellen/Datenquellen_TopPlusOpen.html

Für die Richtigkeit und Aktualität der Angaben wird keine Gewähr übernommen. Erstellt 01/2023.